

Курсовая работа по теме
«Интегральные уравнения»

Дмитрий Джус

Содержание

1. Предмет работы	3
1.1. Исходные данные	3
2. Решение	4
2.1. Приближение полиномами Чебышёва	4
2.2. Дискретизация исходного уравнения	4
2.3. Неустойчивость	6
2.4. Регуляризация	7
2.4.1. Использование модельного решения	8
2.4.2. Регуляризация по невязке	10
2.5. Выводы	11
3. Информация о документе	12
4. Список литературы	12

1. Предмет работы

В настоящей курсовой работе рассматриваются методы решения симметричного неоднородного интегрального уравнения Фредгольма первого рода вида

$$\int_a^b e^{-s\tau} x(\tau) d\tau = z(s), s \in [a; b] \quad (1.1)$$

Изучение интегрального уравнения будем проводить по следующему плану:

$\langle * \rangle \equiv$
 $\langle \text{исходные данные} \rangle$
 $\langle \text{модельное решение} \rangle$
 $\langle \text{дискретизация} \rangle$
 $\langle \text{неустойчивость} \rangle$
 $\langle \text{регуляризация} \rangle$
 $\langle \text{запись результатов} \rangle$

1.1. Исходные данные

Рассматривается отрезок интегрирования $a = 0, b = 2$.

$\langle \text{исходные данные} \rangle \equiv$

a = 0

b = 2

К использованию предлагается модельное решение (рис. 1) вида

$$x_0(\tau) = 100 \cdot \sin^2 \left(\frac{\pi}{2} \tau \right). \quad (1.2)$$

$\langle \text{модельное решение} \rangle \equiv$

function M = M(x)

 M = 100 * sin(pi / 2 * x) .^ 2;

endfunction

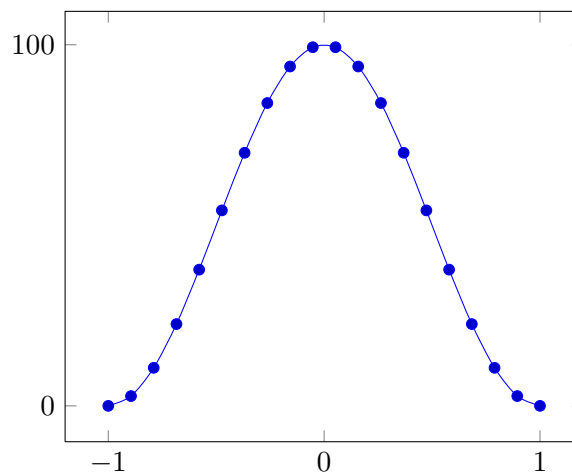


Рис. 1. Модельное решение (1.2)

2. Решение

2.1. Приближение полиномами Чебышёва

Многочлены Чебышёва ($T_k(\tau)$ на отрезке $[a; b]$ определяются следующим образом:

$$\begin{aligned} T_0(\tau) &= 1 \\ T_1(\tau) &= \frac{2x - (b + a)}{b - a} \\ T_{k+1}(\tau) &= 2 \cdot T_1(\tau) \cdot T_k(\tau) - T_{k-1}(\tau) \end{aligned} \quad (2.1)$$

Разложим искомую функцию $x(\tau)$ по многочленам Чебышёва до n -го члена:

$$x_A(\tau) = \sum_{k=1}^n c_k T_k(\tau). \quad (2.2)$$

Коэффициенты c_k вычисляются по формуле:

$$c_k = \frac{\langle T_k, x \rangle}{\langle T_k, T_k \rangle}, \quad (2.3)$$

где

$$\langle f, g \rangle = \sum_{m=1}^n f(\tau_m) \cdot g(\tau_m). \quad (2.4)$$

При этом известно (см. [1], [2]), что для интерполяции с наименьшей погрешностью на отрезке $[a; b]$ узлы τ_m необходимо выбирать следующим образом:

$$\tau_m = \frac{a+b}{2} + \frac{b-a}{2} \cdot \cos\left(\frac{\pi(2m-1)}{2n}\right), \quad m = 1, \dots, n. \quad (2.5)$$

При выборе узлов интерполяции как в (2.5),

$$\langle T_k, T_k \rangle = r_k = \begin{cases} n, & k = 1, \\ n/2, & k > 1. \end{cases} \quad (2.6)$$

С учётом (2.3) и (2.6) формула (2.2) примет вид:

$$x_A(\tau) = \sum_{k=1}^n \left[\frac{\sum_{j=1}^n x(\tau_j) \cdot T_k(\tau_j)}{r_k} \cdot T_k(\tau) \right] \quad (2.7)$$

2.2. Дискретизация исходного уравнения

$\langle \text{дискретизация} \rangle \equiv$
 $\langle \text{генерация сеток} \rangle$
 $\langle \text{построение матриц } \Psi, \Theta \text{ и } B \rangle$
 $\langle \text{построение правой части} \rangle$

Введём на $[a; b]$ равномерную сетку $S_n = \langle a = s_1, \dots, s_n = b \rangle$ и сетку $\langle \tau_1, \dots, \tau_n \rangle$ согласно (2.5). Выберем $n = 20$.

$\langle \text{генерация сеток} \rangle \equiv$

```
global n = 20
h = (b - a) / (n - 1)
s = a:h:b;
tau = Cheb_roots(a, b, n);
```

Подставим разложение (2.7) в (1.1) и запишем уравнение для каждого s_i :

$$\int_a^b e^{-s_i \tau} \sum_{k=1}^n \sum_{j=1}^n \left[x(\tau_j) \cdot T_k(\tau_j) \cdot \frac{1}{r_k} \cdot T_k(\tau) \right] d\tau = z(s_i). \quad (2.8)$$

Переупорядочим знаки суммирования и интегрирования:

$$\sum_{j=1}^n \sum_{k=1}^n \underbrace{\int_a^b e^{-s_i \tau} \cdot T_k(\tau) d\tau}_{\psi_{ik}} \cdot \underbrace{\frac{1}{r_k} \cdot x(\tau_j)}_{\theta_{kj}} = z(s_i), \quad (2.9)$$

с учётом введённых обозначений:

$$\sum_{j=1}^n \sum_{k=1}^n \underbrace{\psi_{ik} \cdot \theta_{kj}}_{b_{ij}} \cdot x(\tau_j) = z(s_i). \quad (2.10)$$

Определим матрицы $\Psi = (\psi_{ik})_n^n$ и $\Theta = (\theta_{kj})_n^n$, после чего можно ввести матрицу

$$B = (b_{ij})_n^n = \Psi \cdot \Theta. \quad (2.11)$$

$\langle \text{построение матриц } \Psi, \Theta \text{ и } B \rangle \equiv$

```
Psi = zeros(n);
for i = 1:n
    for k = 1:n
        Psi(i, k) = quad(@(x) exp(-s(i) * x) * Cheb(a, b, k, x), a, b);
    endfor
endfor

Theta = zeros(n);
for k = 1:n
    for j = 1:n
        Theta(k, j) = Cheb(a, b, k, tau(j)) / Cheb_norm(k, n);
    endfor
endfor

global B = Psi * Theta
```

Из (2.10) следует:

$$\sum_{j=1}^n b_{ij}x(\tau_j) = z(s_i),$$

что с учётом определения (2.11) принимает вид:

$$B \cdot \forall x = \forall z. \quad (2.12)$$

Решение системы (2.12) позволяет определить значения искомой функции x в точках τ_m .

Найдём правую часть, подставив в уравнение модельное решение.

$\langle \text{построение правой части} \rangle \equiv$
`global x_m = M(tau)';`
`z = B * x_m;`

2.3. Неустойчивость

Внесём в правую часть уравнения малое возмущение порядка $\delta = 10^{-2}$, прибавив к ней вектор нормально распределённых случайных величин, и рассмотрим вместо (2.12) полученную систему:

$$B \cdot \forall x = \forall \tilde{z}. \quad (2.13)$$

Решение данной системы $\forall \tilde{x}$ (рис. 2) демонстрирует её неустойчивость к малым возмущениям.

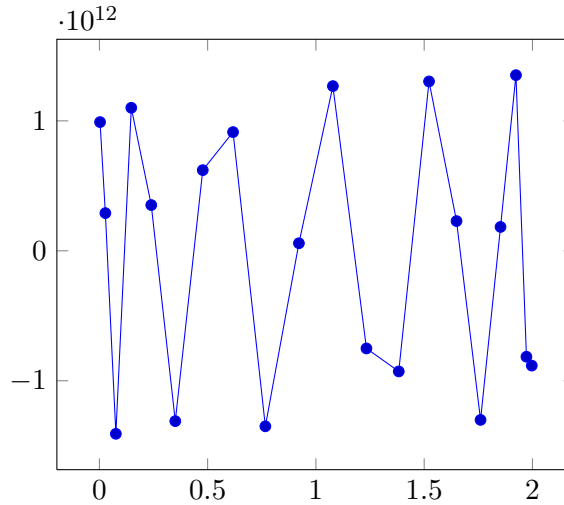


Рис. 2. Решение (2.12) после внесения возмущения

$\langle \text{неустойчивость} \rangle \equiv$
`raw_x = B \ z;`
`global delta = 0.01;`
`rand ("seed", 1329)`
`global z_d = z + normrnd(0, delta, n, 1);`
`z_d - z`
`x_d = B \ z_d;`

2.4. Регуляризация

Метод регуляризации заключается в замене исходной системы (2.13) на следующую:

$$(\alpha H + B^T B) \cdot {}^\vee x = B^T \cdot {}^\vee \tilde{z}, \quad (2.14)$$

где H — матрица стабилизирующего функционала, а α — параметр регуляризации. Предлагается определить α таким образом, чтобы новая система была как можно адекватнее исходной и при этом была устойчивой. Конкретный вид матрицы H выбирается согласно требованиям, налагаемым на решение системы. В данной работе будем использовать в качестве H единичную матрицу E .

Далее рассмотрим два подхода к поиску параметра α .

```
<регуляризация> ≡  
function x = stabilized_solution(B, z, H, alpha)  
    x = (H * alpha + B' * B) \ (B' * z);  
endfunction  
<регуляризация по модельному решению>  
<регуляризация по невязке>
```

2.4.1. Использование модельного решения

Обозначая решение новой системы как $\check{x}(\alpha)$, зададимся задачей минимизации функционала

$$w(\alpha) = \|\check{x}_0 - \check{x}(\alpha)\|. \quad (2.15)$$

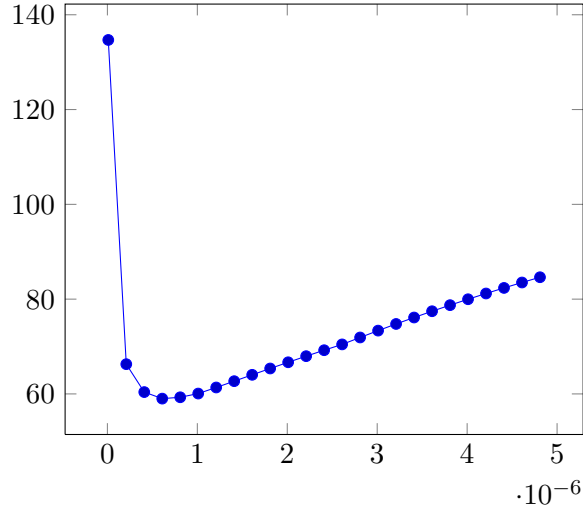


Рис. 3. Значения функционала $w(\alpha)$

⟨регуляризация по модельному решению⟩≡

```
function w = w(alpha)
    global B z_d x_m n
    x = stabilized_solution(B, z_d, eye(n), alpha);
    w = sum(abs(x - x_m));
endfunction
```

```
alphas = 1e-8:20e-8:5e-6;
w_points = zeros(length(alphas),1);
for i=1:length(alphas)
    w_points(i) = w(alphas(i));
endfor
```

```
alpha = sqp(1e-2, @w, [], [], 0, 1)
⟨проверка первого решения на устойчивость⟩
```

Находя $\alpha: 6.24988544e-07$, вычислим решение регуляризованной системы (2.14). Оно сопоставлено с модельным решением x_0 на рис. 4.

Система (2.14) при найденном значении α обладает устойчивостью: как продемонстрировано на рис. 5, добавление к вектору \check{z} малого возмущение уже не приводит к картине, виденной ранее (рис. 2).

⟨проверка первого решения на устойчивость⟩≡

```
x_r1 = stabilized_solution(B, z_d, eye(n), alpha);
x_r1_dist = stabilized_solution(B, z_d + normrnd(0, delta, n, 1), eye(n), alpha);
```

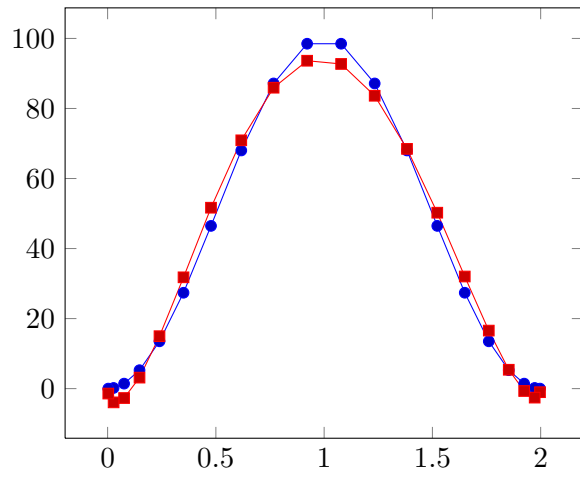



Рис. 4. Модельное и регуляризационное решение

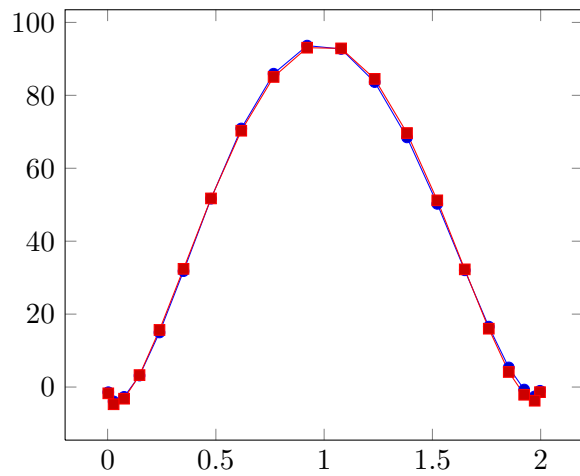


Рис. 5. Стабильность регуляризационного решения $\forall \bar{x}(\alpha)$

2.4.2. Регуляризация по невязке

Рассмотрим для той же системы (2.14) невязку в правой части:

$$\Delta = \|B \cdot \hat{x}(\beta) - \hat{z}\|, \quad (2.16)$$

минимизируем функционал $\Phi(\beta)$, определённый следующим образом:

$$u(\beta) = |\Delta - \delta \cdot \sqrt{n}|. \quad (2.17)$$

В данном случае мы выбираем параметр регуляризации таким образом, чтобы значение невязки (2.16) было как можно ближе к оптимальному значению $\delta\sqrt{n}$, вычисленному с учётом нормальности распределения компонента внесённого в систему вектора случайных величин. Определим β : 6.24988544e-08 .

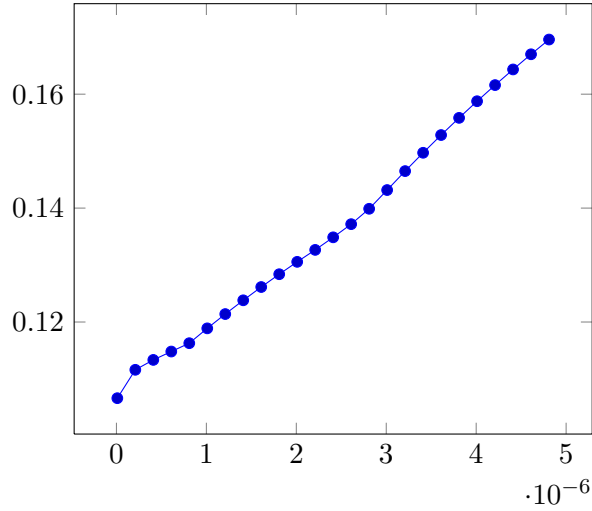


Рис. 6. Значения функционала $u(\beta)$

```

<регуляризация по невязке>≡
function u = u(alpha)
    global B z_d x_m n delta
    x = stabilized_solution(B, z_d, eye(n), alpha);
    u = abs(sum(abs(B*x - z_d)) - delta * sqrt(n));
endfunction

u_points = zeros(length(alphas),1);
for i=1:length(alphas)
    u_points(i) = u(alphas(i));
endfor

beta = sqrt(1e-2, @u, [], [], alpha / 10, 1)
<проверка второго решения на устойчивость>

<проверка второго решения на устойчивость>≡
x_r2 = stabilized_solution(B, z_d, eye(n), beta);
x_r2_dist = stabilized_solution(B, z_d + normrnd(0, delta, n, 1), eye(n), beta);

```

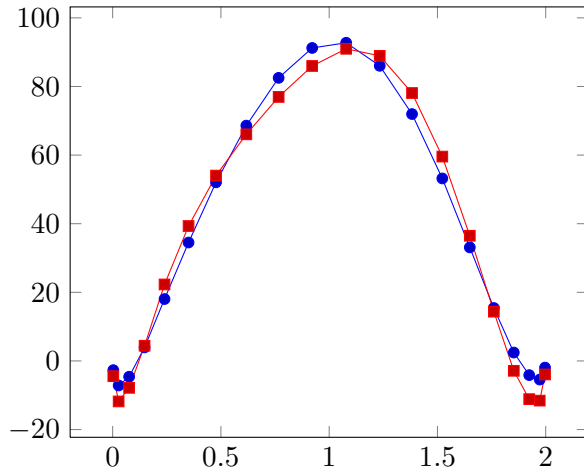


Рис. 7. Стабильность регуляризационного решения $\forall \bar{x}(\beta)$

2.5. Выводы

Решения $\forall \bar{x}(\alpha)$ и $\forall \bar{x}(\beta)$ представлены на рис. 8.

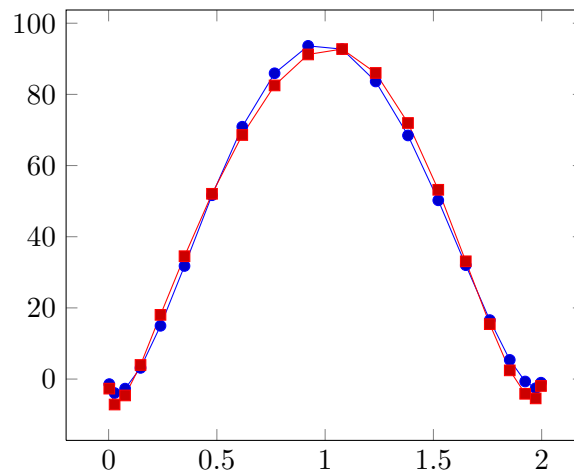


Рис. 8. Сравнение регуляризационных решений

Поскольку в действительности модельное решение обычно недоступно, более универсальным является метод регуляризации по невязке, дающий приемлимые результаты.

```

<запись результатов>≡
model_points = [tau; x_m']';
x_points = [tau; raw_x']';
x_d_points = [tau; x_d']';
x_r1 = [tau; x_r1']';
x_r1_dist = [tau; x_r1_dist']';
x_r2 = [tau; x_r2']';
x_r2_dist = [tau; x_r2_dist']';

```

```

w_points = [alphas; w_points']';
u_points = [alphas; u_points']';
save ("model.out", "model_points");
save ("raw-sol.out", "x_points");
save ("raw-dist-sol.out", "x_d_points");
save ("r1-sol.out", "x_r1");
save ("r1-sol-dist.out", "x_r1_dist");
save ("r2-sol.out", "x_r2");
save ("r2-sol-dist.out", "x_r2_dist");
save ("w.out", "w_points");
save ("u.out", "u_points");
save ("-ascii", "alpha.out", "alpha");
save ("-ascii", "beta.out", "beta");

```

3. Информация о документе

Данный документ был подготовлен с использованием \LaTeX . Программа, реализующая представленные численные методы, была написана в среде **GNU Octave**. Код представлен с использованием **noweb**. Иллюстрации созданы с помощью пакета **pgfplots**.

Автоматизация процесса сборки обеспечивалась утилитами **GNU Make** и **texdepend**.

Представленная работа выполнена в рамках программы седьмого семестра обучения по специальности «Вычислительная математика и математическая физика» в МГТУ им. Н. Э. Баумана.

Дата компиляции настоящего документа: 18 декабря 2009 г.

4. Список литературы

- [1] БАХВАЛОВ Н. С., ЖИДКОВ Н. П., КОБЕЛЬКОВ Г. М. Численные методы. — М.: Физматлит, 2001.
- [2] АМОСОВ А. А., ДУБИНСКИЙ Ю. А., КОПЧЕНОВА Н. В. Вычислительные методы для инженеров. — М.: Высшая школа, 1994.